



## مقاله علمی - پژوهشی:

## مطالعه انتخاب‌پذیری تورهای گوشگیر ماهی هوور (*Thunnus tonggol* Bleeker, 1851) با استفاده از رابطه طول-اندازه دور بدن در دریای عمان (آبهای ساحلی سیستان و بلوچستان)

محمد جاسم کهرازه‌ی<sup>۱</sup>، سعید گرگن<sup>\*</sup><sup>۱</sup>، سید عباس حسینی<sup>۲</sup>، بیژن آژنگ<sup>۳</sup>

\*sgorgin@gau.ac.ir

۱- گروه تولید و بهره‌برداری آبزیان، دانشکده شیلات و محیط‌زیست، دانشگاه علوم کشاورزی و منابع طبیعی گرگان، گرگان، ایران.

۲- مرکز تحقیقات ذخایر آبزیان آبهای داخلی، مؤسسه تحقیقات علوم شیلاتی کشور، سازمان تحقیقات، آموزش و ترویج کشاورزی، گرگان، ایران.

۳- مرکز تحقیقات شیلاتی آبهای دور، مؤسسه تحقیقات علوم شیلاتی کشور، سازمان تحقیقات، آموزش و ترویج کشاورزی، چابهار، ایران.

تاریخ پذیرش: آذر ۱۴۰۱

تاریخ دریافت: شهریور ۱۴۰۱

## چکیده

ماهی هوور (*Thunnus tonggol*) یکی از گونه‌های مهم تجاری به‌شمار می‌رود. این گونه در دریای عمان غالباً با تور گوشگیر صید می‌شود. این مطالعه جهت بررسی انتخاب‌پذیری تورهای گوشگیر صید ماهی هوور براساس رابطه طول - اندازه دور بدن ماهی از دی ماه ۱۳۹۷ لغاًیت تیرماه ۹۸ به صورت ماهانه در مناطق نمونه‌برداری بربس، رمین و کنارک انجام گرفت. برای این منظور، در هر مرحله از نمونه‌برداری ماهیان صید شده جمع‌آوری و داده‌های ماهیان هوور از ناحیه دور چشم، پیش آبشش، آبشش و حداقل ارتفاع بدن اندازه‌گیری شدند. سپس به‌وسیله مدل انتخاب‌پذیری تور گوشگیر، نسبت به محاسبه تعیین منحنی انتخاب‌پذیری تور و بیشترین انتخاب طولی ماهی هوور به تفکیک ترکیب صید چشمۀ تور انجام گرفت. بر اساس نتایج، برای چشمۀ‌های ۱/۱، ۱۰/۱، ۱۳/۲، ۱۱/۴، ۱۴/۶، ۱۵/۲، ۱۴/۲، ۱۳/۲، ۱۱/۴، ۱۰/۱، ۱۵/۲، ۱۴/۶ سانتی‌متر بیشترین انتخاب طولی ماهی هوور به ترتیب ۴۰، ۵۰، ۵۵، ۶۰ و ۷۳/۳ سانتی‌متر برآورد گردید. با توجه به ۱۷/۸ سانتی‌متر بیشترین انتخاب طولی ماهی هوور به ترتیب ۴۰، ۵۰، ۵۵، ۶۰ و ۷۳/۳ سانتی‌متر طول چنگالی است متر برآورد گردید. هوور که ۱۷/۸ سانتی‌متر طول چنگالی است ماهیان صید شده با چشمۀ تور ۱۷/۸ سانتی‌متری، دارای طول چنگالی بزرگ‌تر از میانگین طول بلوغ جنسی ماهی است. بنابراین، با در نظر گرفتن صید گونه هدف، ماهی هوور نتایج نشان داد که چشمۀ‌های تورهای ۱۰/۱، ۱۱/۴، ۱۳/۲، ۱۴/۶ ۱۵/۲ سانتی‌متر برای صید ماهی هوور در دریای عمان مناسب نیستند. به کارگیری اندازه چشمۀ تور ۱۷/۸ سانتی‌متر با هدف صید ماهیان بالغ هوور می‌تواند تا اندازه‌ای صید پایدار و مسئولانه را برای این گونه هوور به ارمغان آورد.

لغات کلیدی: *Thunnus tonggol*, تور گوشگیر، انتخاب‌پذیری، ایران، دریای عمان

\*نویسنده مسئول

**مقدمه**

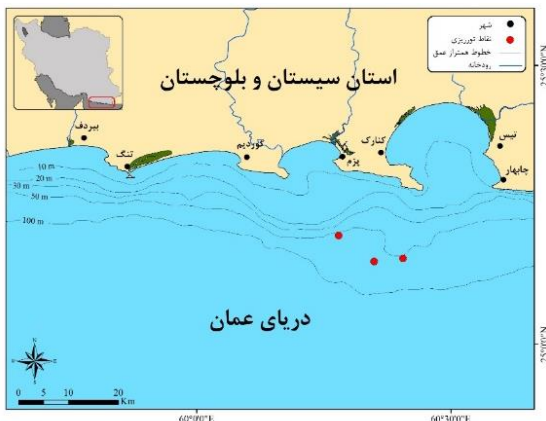
*al.*, 1996; Fonseca *et al.*, 2005; Erzini *et al.*, 2006; Fabi and Grati, 2008 (2006). از میان عوامل غیر زیستی، اندازه چشم به عنوان مهم‌ترین فاکتور در صید انتخابی تورهای گوشگیر است. از سویی، در بین ادوات ماهیگیری، تورهای گوشگیر دارای انتخاب‌پذیری بالایی هستند. بدین معنا که اندازه‌های طول خاصی از گونه‌های ماهی را بیشتر از سایر طول‌ها مورد صید قرار می‌دهند که به عنوان بیشترین انتخاب طولی ترکیب صید مطرح است (*Emmanuel et al.*, 2008; *Hosseini et al.*, 2017). یک مدیریت مناسب در صید تورهای گوشگیر آن است که ابزارهای صید، ماهیان بالغ را صید کنند و به ماهیان نابالغ اجازه فرار از ابزار صید را بدهند تا امکان تکثیر و تجدید جمعیت گونه‌های ماهی، در آینده فراهم گردد (Booth *and Potts*, 2006). دستیابی به این هدف در صورتی امکان‌پذیر است که چشممه تور استاندارد برای صید ماهی مورد نظر تعیین گردد تا از این طریق علاوه بر حفاظت از ذخایر ماهیان نابالغ، بتوان میزان میزان صید را در سطح پایدار به بیشترین مقدار رساند. اندازه انتخاب‌پذیری تور گوشگیر معمولاً با استفاده از اندازه چشمدهای مختلف (حداقل سه چشممه) برای صید گونه‌های هدف، برآورد می‌گردد (*Madsen*, 2007). صید و گزینش طولی در تورهای گوشگیر، بستگی به خصوصیات تور و شکل ظاهری ماهی دارد. ارتباط دور بدن ماهی و اندازه چشممه تور یکی از فاکتورهای تعیین‌کننده در اندازه چشممه تور بهینه است (*Hameed and Boopendranath*, 2000). یکی از اصول مهم برای پایداری جمعیت ماهی این است که حداقل یکبار در محل طبیعی تخریزی کرده باشد. بنابراین، حداقل اندازه ساحل‌آوری ماهی باید بزرگ‌تر از طول بلوغ جنسی ماهی باشد (*Gabr and Mal*, 2016).

در نتیجه، شناخت مشخصات انتخابی ابزار صید دارای اهمیت است. محاسبه انتخاب‌پذیری تور گوشگیر بر اساس روش‌های مختلفی صورت می‌گیرد که یکی از این روش‌ها، روش غیر مستقیم Sechin است که برای نخستین بار انتخاب‌پذیری به وسیله داده‌های ریختی ماهی است. در این روش، اطلاعات مربوط به پراکنش طولی جمعیت

ماهی هور، ماهی سطح‌زی بوده که غالباً متعلق به آبهای ناحیه ساحلی است و در دو ناحیه در جهان بیشترین مقدار صید را به‌خود اختصاص می‌دهد. اولین ناحیه در سواحل دریای جنوبی چین از تایلند تا مالزی و دومین ناحیه کشورهای همسایه دریایی عرب که شامل عمان، امارات متحده عربی، ایران و پاکستان است (Stequet *and Marsac*, 1989) هورهای کوچک کرانه‌ای هستند و مراحل زندگی خود را در فلات قاره سپری می‌کنند در حالی که هورهای بزرگ‌تر زندگی در اقیانوس‌ها را ترجیح می‌دهند. این ماهیان در گروه‌های کوچک مهاجرت نیز می‌کنند (شووقی، ۱۳۷۱). ماهی هور در آبهای دریای عمان و خلیج فارس در دو فصل بهار و تابستان انجام می‌گیرد که دوره اصلی آن در تابستان است. زیرا اوج رسیدگی جنسی در مرداد ماه صورت می‌گیرد (درویشی، ۱۳۸۲). در آبهای استان سیستان و بلوچستان طول چنگالی ماهی هور برابر با ۷۲ سانتی‌متر برآورد شده است (حسینی و همکاران، ۱۳۹۵). این مقدار برای ماهی هور در آبهای استان هرمزگان  $\frac{73}{3}$  سانتی‌متر به دست آمده است (درویشی، ۱۳۸۲).

این ماهی از گونه‌های مهم تجاری محسوب می‌شود که صیادان خرد در آبهای خلیج فارس و دریای عمان با به‌کارگیری تورهای گوشگیر آنها را صید می‌کنند. میزان صید در این دو زیست‌بوم از ۱۷۸۷۲ تن در سال ۱۳۷۶ به ۵۵۲۰۷ تن در سال ۱۳۹۵ افزایش یافته است. میزان تخلیه صید این گونه در مراکز تخلیه صید استان سیستان و بلوچستان از ۳۵۵۰ تن در سال ۱۳۷۶ به ۳۰۹۴۳ تن در سال ۱۳۹۵ افزایش یافته که به طور متوسط در هر سال ۱۰ درصد رشد صید اتفاق افتاده است (تقوی مطلق، ۱۳۹۸). تورهای گوشگیر از قدیمی‌ترین و پرکاربردترین ادوات صیادی در جهان محسوب می‌شوند که جهت صیدهای تجاری و برخی اهداف پژوهشی به صورت ثابت و شناور در عمق‌های مختلف و نیز اندازه گوناگون مورد استفاده قرار می‌گیرد (Pierce *et al.*, 1994; Guy *et al.*, 1994).

۳/۵-۲/۵ و ارتفاع شناورها  $1/2-1/5$  متر بود. عملیات تور ریزی برای صید هوور در بعد از ظهر ساعت ۱۶:۳۰ دقیقه و در جهت جریان آب یا باد آغاز و حدوداً ۱ ساعت ۱:۳۰ دقیقه به طول انجامید. تورها پس از ۱۲ ساعت و در تاریکی سحر (ساعت ۴:۳۰-۱۴:۳۰) جمع‌آوری شدند.



شکل ۱: مناطق نمونهبرداری در دریای عمان

Figure 1: Sampling areas in the Oman Sea

ابزار نمونهبرداری در این مطالعه شامل تور گوشگیر شناور سطحی ماهی هوور با شش اندازه چشممه مختلف شامل  $10/1$ ،  $11/4$ ،  $13/2$ ،  $14/6$ ،  $15/2$  و  $17/8$  سانتی‌متر (اندازه چشممه کشیده، گره تا گره مقابل) بود. همه تورهای مورد استفاده از نوع مولتی‌فیلامنت (چند رشته‌ای)، از جنس پلی‌آمید با شماره نخهای ۳۳ و ۷۲، به رنگ خاکستری، جنس بویهها از نوع PVC بیضی شکل، وزنهای از نوع قالب سیمانی، طول هر طاقه  $182/88$  و تعداد چشممه‌ها در ارتفاع ۲۰۰ عدد بود. همچنین ضریب آویختگی همه تورها یکسان بود.

### روش نمونهبرداری ماهی هوور

نمونهبرداری به صورت روزانه در لنج و اسلکله صیادی انجام می‌گرفت. ماهیان صید شده با استفاده از کلیدهای شناسایی معتبر نظیر کلید شناسایی اطلس ماهیان خلیج فارس و دریای عمان (اسدی و دهقانی، ۱۳۷۵) و کتاب فائو (Fischer and Bianchi, 1984) شناسایی شدند و نقطه گیر افتادن ماهیان هوور از ناحیه دور چشم، پیش

ماهیان به دست می‌آید و توزیع فراوانی طولی جمعیت ماهیان و پارامترهای انتخاب‌پذیری با یکدیگر محاسبه می‌گرددند (Hovgêrd and Lassen, 2000). اگر چه تاکنون در کشور مطالعات متعددی بر تورهای گوشگیر از جنبه‌های مختلف صورت گرفته است (تمسکی و همکاران، ۱۳۹۵؛ حقیقت جو و همکاران، ۱۳۹۷؛ حسینی و عنایتی، ۱۳۹۷؛ قاسمپور و همکاران، ۱۴۰۰)، ولی با توجه به مطالعات گذشته، انتخاب‌پذیری تمامی تورهای گوشگیر ویژه صید ماهی هوور *T. tongol* موجود در آبهای استان را در بر نگرفته است. از این‌رو، تصمیم گرفته شد تا با استفاده از روابط طول-دور بدن این گونه در دریای عمان (آبهای ساحلی سیستان و بلوچستان)، مطالعه‌ای به روش Sechin انجام گیرد.

### مواد و روش کار

#### منطقه تور ریزی و عملیات صیادی

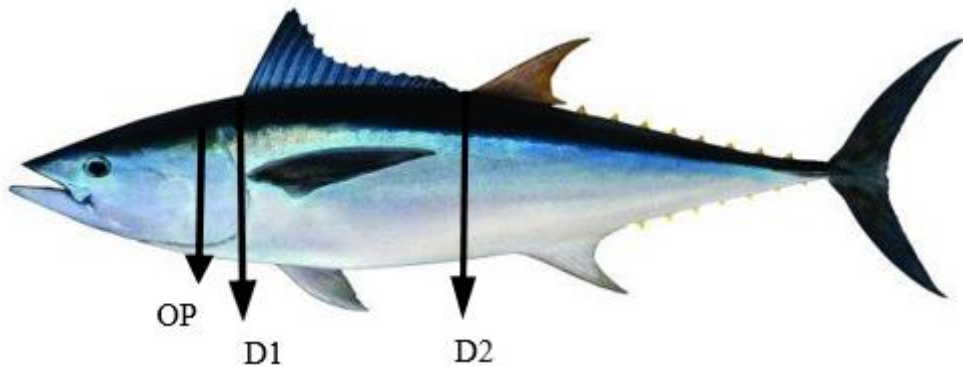
این مطالعه، در شمال شرقی دریای عمان در سواحل استان سیستان و بلوچستان و در سه منطقه عمده تخلیه صید شامل بنادر بربس، کنارک و رمین از دی ماه ۱۳۹۷ لغایت تیر ۱۳۹۸ صورت پذیرفت (شکل ۱). منطقه نمونهبرداری منطبق با محدوده فعالیت صید لنج‌های چوبی گوشگیر فعال صید تون ماهیان به‌ویژه تورهای گوشگیر شناور سطحی ماهی هوور بود که براساس تجربه صیادان و با استفاده از دستگاه موقعیت‌یاب (GPS) این محدوده شامل  $13^{\circ}43'N$ ،  $25^{\circ}0'E$  و  $13^{\circ}59'N$ ،  $25^{\circ}0'E$  بود. نمونهبرداری در صیدگاه‌های محل فعالیت با لنج‌های چوبی گوشگیر و روی شناورهای منطقه تا محدوده ۲۰ مایلی از ساحل (منطقه فراساحلی) صورت گرفت.

#### عملیات صید

در این مطالعه از شناور صیادی لنج چوبی مجهز به تورهای گوشگیر شناور سطحی ماهی هوور که ماهی را با استفاده از یخ سرد نگه می‌دارند، استفاده شد. مشخصات فنی شناورهایی که از آنها نمونهبرداری شد شامل، قدرت موتور ۵۵ اسب بخار، طول شناور ۱۱-۸ متر، عرض شناور

استفاده از خط کش فلزی با دقت ۱ میلی‌متر اندازه‌گیری شد (شکل ۲).

آبشنش، آبشش و حداکثر ارتفاع بدن در قسمت بالهای پشتی با استفاده از یک قطعه نخ صیادی و سپس با



شکل ۲: ماهی هوور با نقاط اندازه‌گیری شده. پیش‌آبشنش یا آبشش (OP)، اولین باله پشتی (D1) و دومین باله پشتی (D2)

Figure 2: *T. tonggol*/with measured points, Operculum or gills (OP), first dorsal fin (D1) and second dorsal fin (D2)

انتخاب‌پذیری و طول اپتیمم ماهی هوور به تفکیک چشمۀ تور اقدام گردید:

داده‌های به‌دست آمده در فرم‌های ثبت اطلاعات ثبت گردید. در انتهای به‌وسیله مدل انتخاب‌پذیری مرتبط (Sechin, 1969)، نسبت به محاسبه تعیین منحنی

G/P (maximum girth/mesh perimeter)

G/P (girth at the position where the fish were caught/mesh perimeter)

$$S_j = \phi \left\{ (2M - G_{hj}) / \sigma_{hj} \right\} [1 - \phi \left\{ (2M - G_{maxj}) / \sigma_{maxj} \right\}]$$

$$S_j = \phi \left\{ (2M - K_h G_{hj}) / \sigma_{hj} \right\} [1 - \phi \left\{ (2M - K_{max} G_{maxj}) / \sigma_{maxj} \right\}]$$

$$S_{ij} = \phi \left( \frac{K_{cj} G_{maxj} - 2m_i}{\sqrt{\sigma_{maxj}^2 + \sigma_{mj}^2}} \right) X \left[ 1 - \phi \left( \frac{K_{maxj} G_{maxj} - 2m_i}{\sqrt{\sigma_{maxj}^2 + \sigma_{mi}^2}} \right) \right]$$

G: حداکثر اندازه دور بدن؛ P: محیط چشمۀ آنچه افتاده است.  $S_j$ : احتمال صید ماهی طبقه طولی  $j$ ؛  $G_{hj}$ : اندازه متوسط محیط دور سرمه‌ای طبقه طولی  $j$ ؛  $\sigma_{hj}$ : انحراف استاندارد محیط دور سرمه‌ای طبقه طولی  $j$ ،  $2M$ : محیط چشمۀ آنچه افتاده‌اند.  $K_h$ : نسبت محیط چشمۀ به محیط دور بدن طبقه طولی  $j$ ،  $K_{max}$ : میانگین حداکثر محیط دور سرمه‌ای طبقه طولی  $j$ ؛  $\sigma_{maxj}$ : انحراف استاندارد حداکثر محیط دور بدن طبقه طولی  $j$ ،  $m_i$ : محیط چشمۀ آنچه افتاده‌اند.  $K_{cj}$ : نسبت محیط چشمۀ به محیط دور بدن ماهیانی که از محل آبشنش در تور گیر افتاده‌اند.  $K_{max}$ : فاکتور ترکیب‌کننده کشسانی نخ و بافته به میزانه بیشینه محیط برای اندازه چشمۀ آنچه افتاده‌اند.  $\sigma_{mj}$ : بیشینه محیط ماهی برای سایز ماهی طبقه  $j$ ،  $\sigma_{mi}$ : واریانس محیط چشمۀ آنچه افتاده‌اند.  $\sigma_{maxj}^2$ : واریانس محیط چشمۀ آنچه افتاده‌اند.  $\sigma_{mi}^2$ : واریانس سایز چشمۀ آنچه افتاده‌اند.

## نتایج

### رابطه طول- اندازه‌های دور بدن

بین طول چنگالی و دور بدن در قسمت‌های مختلف بدن ماهی هور شامل آبشنش، ابتدای اولین باله پشتی و ابتدای دومین باله پشتی، رابطه رگرسیون خطی برقرار بوده که با استفاده از آزمون پیرسون از همبستگی ( $R^2$ ) مثبت معنادار بسیار بالایی ( $p < 0.05$ ) برخوردار است (جدول ۱) که میزان همبستگی در محدوده ۰/۹۵-۰/۹۸ است.

### روش تجزیه و تحلیل آماری داده‌ها

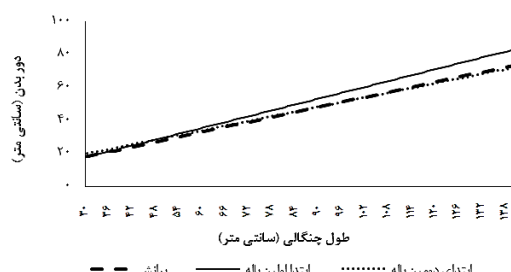
جهت ترسیم منحنی انتخاب‌پذیری طولی ماهی هور از نرم افزار Excel نسخه ۲۰۱۳ و برای تجزیه و تحلیل داده‌های بهدست آمده، از آنالیز کوواریانس یک‌طرفه از نرم افزار SPSS نسخه ۲۲ استفاده گردید.

جدول ۱: ضرایب همبستگی طول چنگالی با پارامترهای ریختی دور بدن ماهی هور

Table 1: Correlation coefficients of fork length with morphological parameters of *T. tonggoi*/body circumference

دور بدن	معادله رگرسیون خطی	همبستگی	سطح معناداری
آبشنش	$y = 2/0.916x + 0/0.501$	$r = -0.98$	۰/۰۰۰**
ابتداي اولين باله پشتی	$y = 0/2641x - 0/05891$	$r = -0.96$	۰/۰۰۰**
ابتداي دومين باله پشتی	$y = 5/78x + 0/4725$	$r = -0.95$	۰/۰۰۰**

می‌یابد. در طول‌های مشابه، افزایش دور بدن در ابتدای دومین باله پشتی نسبت به دور آبشنش و دور بدن در ابتدای اولین باله پشتی بیشتر است (شکل ۴).

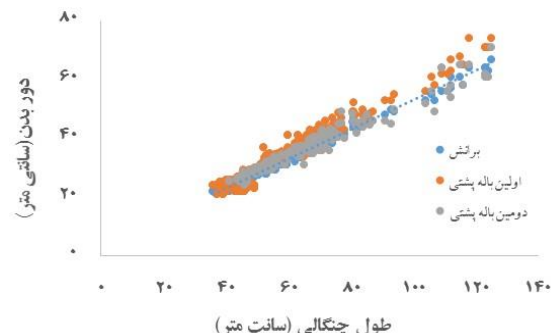


شکل ۴: رابطه خطی برآش شده بین طول چنگالی با پارامترهای ریختی دور بدن ماهی هور

Figure 4: The fitted linear relationship between fork length and body girth morphological parameters of *T. tonggoi*

(جدول ۲) که سبب رد فرضیه صفر یا فرضیه عدم اختلاف بین شبیه روابط خطی مختلف می‌گردد. بنابراین، می‌توان چنین نتیجه گرفت که در طول‌های مشابه مقادیر دور بدن در نقاط مختلف، متفاوت است. با بررسی آزمون مقایسه‌های چندگانه تعقیبی یا جفتی SNK در سطح

همچنین برآش رگرسیون خطی بر داده‌های مشاهده شده در شکل ۳ نشان داده شده است که با افزایش طول چنگالی اندازه‌های مختلف دور بدن ماهی هور نیز افزایش



شکل ۳: رابطه خطی طول چنگالی با اندازه‌های مختلف دور بدن ماهی هور

Figure 3: Linear relationship of fork length with different sizes of *T. tonggoi*/body circumference

نتایج آنالیز کوواریانس طول چنگالی و پارامترهای مختلف ریختی دور بدن جهت آزمون پیش فرض همگنی شبیه خطهای رگرسیون حاکی از آن است که با بررسی اثر متقابل بین طول و عامل پارامترهای دور بدن، بین اندازه‌های دور بدن اختلاف معنادار است ( $p < 0.05$ )

طول مشابه برخوردار است که این موضوع در شکل ۵ به خوبی نشان داده شده است. بنابراین، دور بدن در ابتدای اولین باله پشتی به عنوان حداکثر دور بدن ماهی هوور در نظر گرفته می‌شود.

$\alpha=0/0.5$  مشخص می‌گردد که تن‌ها مقادیر دور آبشنش و دور بدن در دومین باله پشتی یکسان هستند و در سایر موارد این پارامترها با هم اختلاف معناداری دارند (جدول ۳). از این نتایج چنین استباط می‌شود که دور بدن در ابتدای اولین باله پشتی در مقایسه با دور آبشنش و دور بدن در ابتدای دومین باله پشتی از مقادیر بیشتری در

جدول ۲: نتایج آنالیز کوواریانس طول چنگالی و پارامترهای دور بدن ماهی هوور جهت آزمون پیش فرض همگنی شبیه خط‌های رگرسیون  
Table 2: Results of covariance analysis of fork length and body girth parameters of *T. tonggoi* to test the homogeneity of the slope of the regression lines

منبع تغییرات	درجه آزادی	مجموع مربعات (SS)	میانگین مربعات (MS)	F	سطح معناداری
رگرسیون (اثر متقابل)	۲	۴۶۹/۸۰۳	۲۲۴/۹۰۱	۴/۹۵۹	.۰/۰۰۷
باقی‌مانده	۷۵۶	۳۵۸۱۷/۳۴۹	۴۷/۳۷۷		
کل	۷۵۸	۳۶۲۵۸/۱۵۲			

جدول ۳: نتایج آزمون مقایسه‌های چندگانه تعییبی SNK جهت گروه‌بندی شبیه خط‌های رگرسیون پارامترهای دور بدن ماهی هوور  
Table 3: The results of the SNK post hoc multiple comparisons test for grouping of the slope of the regression lines of *T. tonggoi*/body circumference parameters

مقایسه	اختلاف شبیه	خطای معیار	q محاسباتی	q بحرانی	فرضیه صفر
اولین باله پشتی	دور بدن	.۰/۰۲۵۶	۴/۵۴۴	۲/۳۱۴	رد
اولین باله پشتی	آبشنش	.۰/۰۲۳۶	۳/۷۳۲	۲/۲۷۷	رد
آبشنش	دور بدن	.۰/۰۲۵۹	۱/۰۹۸۵	۲/۲۷۷	قبول

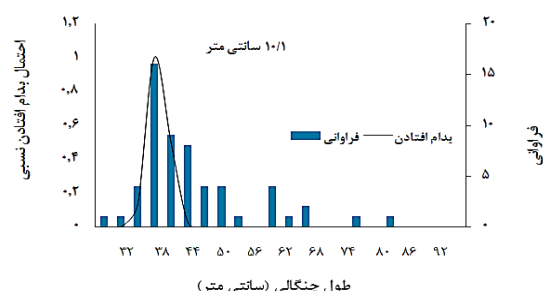
نسبت فراوانی بیشتری برخوردار بوده که در مورد گیرکردن به روش آبشنش این نسبت ۴۸-۴۵ درصد و به روش تنه‌گیر ۶۵-۹ درصد، متغیر بوده است (جدول ۴). همچنین صید ماهی هوور به روش چشم‌گیر که شامل تلفیق صید به روش آبشنش و تنه‌گیر است، مورد بررسی قرار گرفت. در تمام اندازه چشم‌هه تورها صید به روش چشم‌گیر از درصد فراوانی قابل ملاحظه‌ای در مقایسه با روش سرگیر یا غیر چشم‌گیر برخوردار بوده است که با توجه به اندازه چشم‌هه تور، ۱۰۰-۵۷ درصد کل ترکیب صید را به خود اختصاص داده بود.

منحنی انتخاب‌پذیری طولی نحوه صید و گیر افتادن ماهی هوور در ۶ اندازه چشم‌هه تور گوشگیر مختلف مورد استفاده در جدول ۶ براساس تعداد و درصد ارائه شده است. گیرکردن ماهی در چشم‌هه تور به سه روش سرگیر (دور چشم و پیش آبشنش)، آبشنش و تنه گیر (دور بدن در ابتدای اولین و دومین باله پشتی) مورد بررسی قرار گرفت. تن‌ها در چشم‌هه تور ۱۰/۱ سانتی‌متر گیرکردن ماهی در چشم‌هه تور از طریق سر (سرگیر) از درصد فراوانی صید بیشتری در مقایسه با سایر روش‌های گیرکردن برخوردار بوده است. در ۵ نوع دیگر اندازه چشم‌هه تور صید به روش آبشنش و تنه گیر، با توجه به نوع تور، از

جدول ۴: نحوه صید و گیر افتادن ماهیان هور صید شده در چشمه تورهای گوشگیر مختلف بر اساس درصد (تعداد)

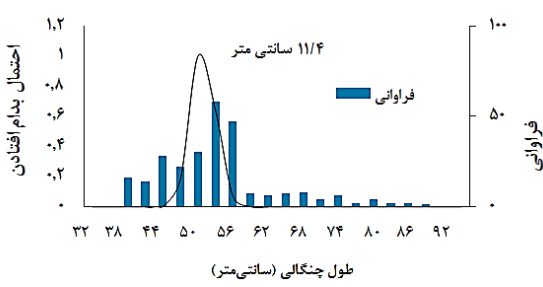
Table 4: The method of catching and tangling of *T. tonggoi* caught in the meshes of different gillnets based on percentage (number)

چشمۀ گیر	تنه گیر	آبشنش	سر	چشمۀ تور (سانتی متر)
(۱۹) ۵۸	(۸) ۲۴	(۱۱) ۳۳	(۱۴) ۴۲	۱۰/۱
(۹۱) ۱۰۰	(۵۹) ۶۵	(۳۲) ۳۵	.	۱۱/۴
(۶۵) ۵۷	(۱۰) ۹	(۵۵) ۴۸	(۵۰) ۴۴	۱۳/۲
(۵۸) ۷۱	(۳۱) ۴۶	(۲۷) ۴۰	(۱۰) ۱۵	۱۴/۶
(۴۷) ۷۵	(۳۱) ۵۰	(۱۶) ۲۵	(۱۶) ۲۵	۱۵/۲
(۴۵) ۸۸	(۲۳) ۴۵	(۲۲) ۴۳	(۶) ۱۲	۱۷/۸



شکل ۵: منحنی انتخاب پذیری و فراوانی طولی ماهی هور صید شده با چشمۀ تور گوشگیر ۱۰/۱ سانتی متر

Figure 5: Selectivity curve and length frequency of *T. tonggoi* caught by the meshes 10.1 cm gillnet



شکل ۶: منحنی انتخاب پذیری و فراوانی طولی ماهی هور صید شده با چشمۀ تور گوشگیر ۱۱/۴ سانتی متر

Figure 6: Selectivity curve and length frequency of *T. tonggoi* caught by the meshes 11.4 cm gillnet

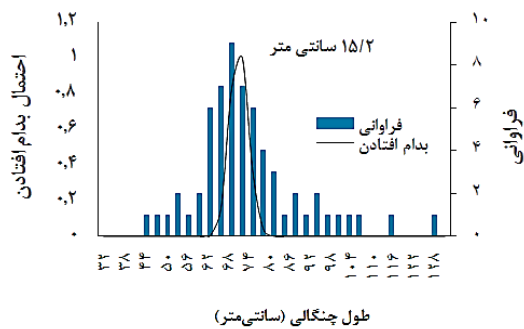
در بررسی چشمۀ تور ۱۳/۲ سانتی متر مشخص شد که دامنه طولی ماهیان هور صید شده با این نوع تور گوشگیر ۵۰-۹۰ سانتی متر بودست آمد که بیشترین فراوانی طولی در دامنه طولی ۵۱-۶۲ سانتی متر قرار گرفت. منحنی انتخاب پذیری با ماهیان صید شده در گروههای طولی

دامنه طولی ماهیان هور صید شده با تور گوشگیر با اندازه چشمۀ ۱۰/۱ سانتی متر، ۳۲-۸۶ سانتی متر بودست آمد که بیشترین فراوانی طولی در دامنه طولی ۳۸-۴۴ سانتی متر بود. منحنی انتخاب پذیری با غالب فراوانی طولی ماهیان در این چشمۀ تور منطبق بوده است و همپوشانی دارد (شکل ۵). بیشترین انتخاب طولی (طولی که در آن احتمال صید ماهیان ۱۰۰ درصد است)، در ترکیب صید چشمۀ ۱۰/۱ سانتی متر، ۴۱ سانتی متر محاسبه شد.

در چشمۀ ۱۱/۴ سانتی متر، دامنه طولی ماهیان هور صید شده ۳۸-۹۰ سانتی متر بود که بیشترین فراوانی طولی ماهیان در دامنه طولی ۵۰-۵۶ سانتی متر قرار گرفت. منحنی انتخاب پذیری نسبت به چشمۀ تور ۱۰/۱ سانتی متر پهن‌تر بوده و با طول غالب ماهیان صید شده مطابقت دارد که عمدتاً در طبقات طولی میانی است (شکل ۶). بیشترین انتخاب طولی ماهی هور برای ترکیب صید چشمۀ ۱۱/۴ سانتی متر، ۵۰ سانتی متر بودست آمد.

مورد ماهیان با طول‌های کوچکتر و بزرگتر، این همپوشانی وجود ندارد.

دامنه طولی ماهیان هوور صید شده با تور گوشگیر با اندازه چشمی ۱۵/۲ سانتی‌متر ۴۱-۱۲۲ سانتی‌متر به دست آمد که بیشترین فراوانی طولی در دامنه طولی ۵۹-۷۴ سانتی‌متر قرار گرفت (شکل ۹). بیشترین انتخاب طولی ماهی هوور در در ترکیب صید چشمی ۱۵/۲ سانتی‌متر، ۷۱ سانتی‌متر بود. در این چشمی، همانند چشمی تور ۱۴/۶ سانتی‌متر، منحنی انتخاب‌پذیری با دامنه طولی ماهیان هوور صید شده در طول‌های میانی همپوشانی دارد.

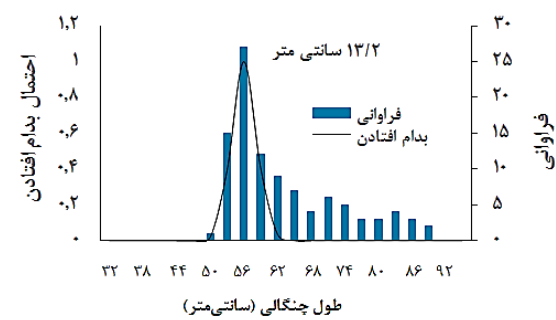


شکل ۹: منحنی انتخاب‌پذیری و فراوانی طولی ماهی هوور صید شده با چشمی تور گوشگیر ۱۵/۲ سانتی‌متر

Figure 9: Selectivity curve and length frequency of *T. tonggoi* caught by the meshes 15.2 cm gillnet

دامنه طولی ماهیان هوور صید شده با تور گوشگیر با اندازه چشمی ۱۷/۸ سانتی‌متر ۶۸-۱۲۲ سانتی‌متر به دست آمد که بیشترین فراوانی ماهیان در دامنه طولی ۷۷-۸۹ سانتی‌متر قرار گرفت (شکل ۱۰). دامنه انتخاب‌پذیری طولی ماهی هوور در ترکیب صید این چشمی ۸۰ سانتی‌متر به دست آمد. در این چشمی، منحنی انتخاب‌پذیری با دامنه طولی ماهیان هوور صید شده برای طول کوچک منطبق بوده و ماهیان بزرگتر از طول ۹۳ سانتی‌متر خارج از دامنه منحنی انتخاب‌پذیری بود.

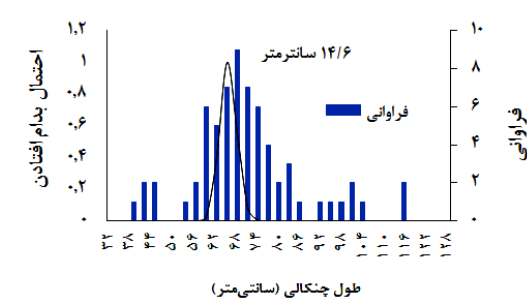
کوچکتر منطبق است که در طول‌های بزرگتر این موضوع صادق نیست (شکل ۷). بیشترین انتخاب طولی ماهی هوور در ترکیب صید چشمی ۱۳/۲ سانتی‌متر برابر ۵۶ سانتی‌متر به دست آمد.



شکل ۷: منحنی انتخاب‌پذیری و فراوانی طولی ماهی هوور صید شده با چشمی تور گوشگیر ۱۳/۲ سانتی‌متر

Figure 7: Selectivity curve and length frequency of *T. tonggoi* caught by the meshes 13.2 cm gillnet

دامنه طولی ماهیان هوور صید شده با تور گوشگیر با در چشمی تور ۱۴/۶ سانتی‌متر ۴۱-۱۱۳ سانتی‌متر بود که دامنه طولی ۵۹-۷۷ سانتی‌متر از بیشترین فراوانی صید برخوردار بوده است. دامنه انتخاب‌پذیری طولی چشمی تور ۱۴/۶ سانتی‌متر ۵۹-۷۷ سانتی‌متر محاسبه گردید (شکل ۸). بیشترین انتخاب طولی ماهی هوور برای در ترکیب صید این چشمی تور ۶۵ سانتی‌متر به دست آمد.

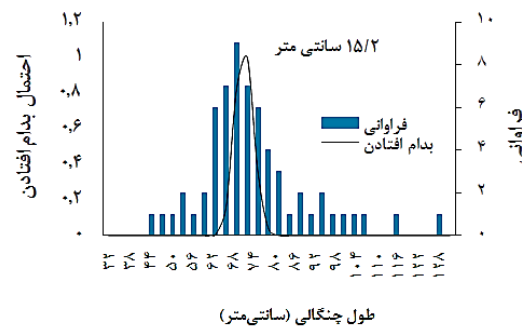


شکل ۸: منحنی انتخاب‌پذیری و فراوانی طولی ماهی هوور صید شده با چشمی تور ۱۴/۶ سانتی‌متر

Figure 8: Selectivity curve and length frequency of *T. tonggoi* caught by the meshes 14.6 cm gillnet

در این چشمی، منحنی انتخاب‌پذیری با بخش‌هایی از دامنه طولی ماهیان هوور صید شده منطبق است که در

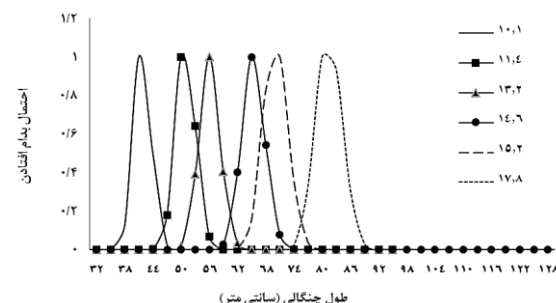
میانگین طولی ماهی هور صید شده با افزایش چشم مه تور مقادیر بیشتری از خود نشان می دهد که به میزان ۹۰/۰-۴۶/۸ سانتی متر، با توجه به اندازه چشم مه تور، در نوسان است. مقایسه ضریب تصحیح K در بین چشم مه تورهای مورد استفاده نشان داد که میزان این ضریب برای دور آپشن در مقایسه با حداکثر دور بدن (دور بدن در ابتدای اولین باله پشتی) بزرگتر است. با توجه به میانگین طول بلوغ جنسی ( $Lm50\%$ ) گونه هور که ۷۳/۳ سانتی متر است (درویشی، ۱۳۸۲)، درصد صید ماهیان نابالغ (ماهیان کوچکتر از طول  $Lm50\%$ ) و بیشترین انتخاب طولی در ترکیب صید چشم مه تورهای مختلف نیز مورد مقایسه قرار گرفت. در تمامی چشم مه تورها به جز چشم مه ۱۷/۸ سانتی متر، تقریباً بیش از ۷۰ درصد ترکیب صید شامل ماهیان نابالغ بوده که این نسبت در چشم مه تور ۱۷/۸ سانتی متر تنها ۱۰ درصد بوده است (جدول ۵).



شکل ۱۰: منحنی انتخاب‌پذیری و فراوانی طولی ماهی هور  
صید شده با چشم مه تور گوشگیر ۱۷/۸ سانتی متر

Figure 10: Selectivity curve and length frequency of *T. tonggol* caught by the meshes 17.8 cm gillnet

جهت مقایسه، در شکل ۱۱ منحنی انتخاب‌پذیری طولی برآش<sup>۱</sup> شده تمامی چشم مه های مورد استفاده در صید ماهی هور در آبهای سیستان و بلوچستان نشان داده شده است. همان‌طوری که در شکل مشخص است، با توجه به بزرگتر شدن چشم مه تورها، بیشترین انتخابی طولی منحنی انتخاب‌پذیری نیز بیشتر می‌گردد. از سویی، با بزرگتر شدن اندازه چشم مه تور شکل منحنی انتخاب‌پذیری نیز پهن‌تر می‌شود. در مجموع، دامنه طولی منحنی انتخاب‌پذیری تورهای گوشگیر ۳۲-۹۲ سانتی متر است.



شکل ۱۱: منحنی انتخاب‌پذیری طولی برآش شده به تفکیک  
اندازه چشم مه تور گوشگیر مورد استفاده

Figure 11: The fitted longitudinal selectivity curve according to the size of the mesh gillnets used

<sup>۱</sup> برآش معادل فارسی Fitting است که در آمار به معنی برآندگی و انطباق است.

جدول ۵: پارامترهای منحنی انتخاب‌پذیری طولی ماهی هوور و میانگین طولی مشاهده شده در صید چشمۀ تورهای گوشگیر مختلف  
Table 5: parameters of the length selectivity curve of *T. tonggol* and the length average observed in the mesh catch of different gillnets

اندازه واقعی چشمۀ (سانتی‌متر)	میانگین طولی صید شده (سانتی‌متر)	بیشترین انتخابی طولی (سانتی‌متر)	ضریب K <sup>۱</sup> دور آبشش	ضریب K حداکثر دور بدن	ماهیان نابلغ (درصد)	دور بدن / محیط چشمۀ تور
۱۷/۸	۱۵/۲	۱۴/۶	۱۳/۲	۱۱/۴	۱۰/۱	
۹۰/۰	۷۱/۷	۶۹/۶	۶۲/۱	۵۲/۳	۴۶/۸	
۸۰	۷۱	۶۵	۵۶	۵۰	۴۱	
۰/۷۹۲	۰/۸۰۴	۰/۸۰۱	۰/۸۲۶	۰/۸۰۶	۰/۸۶۱	
۰/۷۷۹	۰/۷۹۸	۰/۷۹۲	۰/۸۲۳	۰/۷۹۷	۰/۸۵۹	
۱۰/۴	۶۹/۴	۷۲/۴	۸۵/۲	۹۵/۸	۹۶/۵	

## بحث

روابط رگرسیون خطی نشان داد که با افزایش اندازه‌های طولی، اندازه‌های دور بدن ماهی هوور در سه نقطه دور آبشش، دور بدن در ابتدای اولین باله پشتی و دور بدن در ابتدای دومین باله پشتی نیز افزایش می‌باید که میزان همبستگی ۰/۹۵-۰/۹۸ با توجه به خصوصیات دور بدن متفاوت بوده است. در این تحقیق، روابط قوی رگرسیون خطی بین طول چنگالی و بخش‌های مختلف دور بدن ماهی هوور با نتایج داخل کشور صدقه نیری (۱۳۹۷) در مورد ماهی هوور در آبهای استان سیستان و بلوچستان و مطالعه حسینی و همکاران (۱۳۹۵) در مورد ماهی شیر در آبهای استان هرمزگان همسو و همجهت است. این نتایج با گزارش‌های سایر نقاط جهان نیز مطابقت دارد (Santos et al., 1995; Santos et al., 1998; Mendes et al., 2006; Jaward et al., 2015). همچنین آنالیز کوواریانس و آزمون چندگانه تعییبی SNK حاکی از آن است که در اندازه‌های طولی مشابه، اندازه‌های دور بدن ماهی با یکدیگر متفاوت هستند ( $F=۵۸۵/۴$ ,  $p < 0.05$ ). بر اساس نتایج بدست آمده، دور بدن در ابتدای اولین باله پشتی به عنوان حداکثر دور بدن هوور در نظر گرفته شده است.

نحوه گیرکردن ماهی هوور در چشمۀ تورهای مختلف نشان داد که غالب ماهیان به صورت چشمۀ گیر (از طریق دور آبشش) یا در تور گیر کردند که در مجموع ۱۰۰-۵۷ درصد کل ترکیب صید را شامل شدند. این نتایج بیانگر آن است که می‌توان از مدل انتخاب‌پذیری بر پایه داده‌های

دور بدن (از قبیل Sechin)، برای تعیین منحنی انتخاب‌پذیری طولی استفاده نمود. نتایج ارائه شده در اینجا حاکی از آن است که اندازه چشمۀ تورهای گوشگیر برای چشمۀ گیرکردن ماهی هوور مناسب است. با توجه به شکل ظاهری بدن، نحوه گیر کردن ماهی در چشمۀ تورهای گوشگیر متفاوت است. در این ارتباط، ماهیانی با بدن کشیده، بیشتر با گیر کردن چشمۀ تور در اطراف حداکثر دور بدن، صید می‌گردند (Pet et al., 1995).

بالا بودن میزان ضریب K (نسبت محیط چشمۀ تور به دور بدن) در دور آبشش نسبت به حداکثر دور بدن به تفکیک چشمۀ تور متأثر از تلفیقی از قابلیت انعطاف‌پذیری چشمۀ تور و فشردگی بدن ماهی در نقطه گیرکردن در تور است که نتایج این تحقیق با یافته‌های گذشته مطابقت دارد (Pet et al., 1995). بافت بدن ماهی در ابتدای اولین باله پشتی نسبت به دور آبشش نرم است و این سبب می‌شود که مقدار ضریب K در این نقطه بیشتر محاسبه گردد.

در این تحقیق، دامنه طول (چنگالی) ماهی هوور در چشمۀ تورهای مختلف ۱۲۲-۳۲ سانتی‌متر بود که میانگین طولی آن ۶۰/۴ سانتی‌متر به دست آمد. گزارش‌های مختلفی از ایران و سایر نقاط در خصوص فراوانی طولی هوور به ثبت رسیده است که این اختلاف می‌تواند به دلیل تفاوت در ابزار صید و اندازه چشمۀ تورهای گوشگیر باشد. در تحقیق صدقه نیری (۱۳۹۷) دامنه طول چنگالی ماهی هوور صید شده در آبهای استان سیستان و بلوچستان در تورهای گوشگیر مورد بررسی

در تحقیق حاضر، در چشمۀ تورهای ۱۰/۱، ۱۱/۴، ۱۳/۲، ۱۴/۶، ۱۵/۲ و ۱۷/۸ سانتی‌متر، بیشترین انتخاب طولی ماهی هور به ترتیب ۴۰، ۵۰، ۵۶، ۶۵، ۶۸ و ۸۰ سانتی‌متر برآورد گردید. در تحقیق صدوق‌نیری (۱۳۹۷) در آبهای استان سیستان و بلوچستان بیشترین انتخاب طولی بر اساس مدل انتخاب‌پذیری Sechin برای چشمۀ تورهای گوش‌گیر ۱۰/۰، ۱۰/۱، ۱۳/۰ و ۱۶/۵ سانتی‌متر به ترتیب ۳۵، ۳۸، ۴۶ و ۵۷ سانتی‌متر حاصل گشت که در مورد چشمۀ تور مشابه (۱۰/۱ سانتی‌متر)، از نظر بیشترین انتخاب طولی بین تحقیق مذکور و تحقیق حاضر، اختلاف کم است. در سایر موارد به علت اختلاف در چشمۀ تورهای مورد بررسی، این مقایسه امکان‌پذیر نیست.

در تحقیق حاضر، کوچک‌تر بودن بیشترین انتخاب طولی هور در ترکیب صید چشمۀ تورهای ۱۰/۱، ۱۱/۴، ۱۳/۲، ۱۴/۶ و ۱۵/۲ سانتی‌متر نسبت به میانگین طول بلوغ جنسی (Lm50%) (این گونه در آبهای ایران ۷۳/۳ سانتی‌متر)، حاکی از نامناسب بودن این تورها برای صید این گونه در این منطقه است. از سویی، بررسی مقایسه‌ای نسبت صید هور نابالغ در ۵ نوع چشمۀ مذکور فوق نشان می‌دهد که تقریباً بیش از ۷۰ درصد ترکیب صید شامل ماهیان نابالغ است که مجدداً نامناسب بودن این چشمۀ تورها برای این گونه را در آبهای ایران نشان می‌دهد. در مقابل، بیشترین انتخاب طولی هور در ترکیب صید چشمۀ تور ۱۷/۸ سانتی‌متری، ۸۰ سانتی‌متر برآورد شده است که بزرگ‌تر از میانگین طول بلوغ جنسی ماهی است که از این منظر تنها ۱۰ درصد از ترکیب صید شامل ماهیان نوجوان است. بنابراین، به کارگیری اندازه چشمۀ تور ۱۷/۸ سانتی‌متر با هدف صید ماهیان بالغ می‌تواند تا اندازه‌ای صید پایدار و مسئولانه را برای گونه هور به ارمغان آورد.

اگرچه در این تحقیق اندازه چشمۀ تور گوش‌گیر ۱۷/۸ سانتی‌متر برای صید ماهی هور در آبهای دریایی عمان مناسب تشخیص داده شده است، ولی جهت تعیین حداقل اندازه چشمۀ تور مجاز باید آزمایش‌های میدانی با چشمۀ تورهای مختلف در مناطق صیدگاه این گونه به اجرا درآید. در چنین شرایطی، با نتایج به دست آمده می‌توان با

(اندازه چشمۀ ۱۰ سانتی‌متر، ۱۰/۱ سانتی‌متر، ۱۳/۰ سانتی‌متر و ۱۶/۵ سانتی‌متر)، ۳۲-۹۰ سانتی‌متر و میانگین طول ۵۵/۱ سانتی‌متر عنوان شد. همچنین Kaymaram و همکاران (۲۰۱۳) دامنه طولی چنگالی هور را ۲۶-۱۲۵ سانتی‌متر و میانگین طول ۷۴ سانتی‌متر ذکر کردند. در خارج از آبهای ایران، Ahmed و همکاران (۲۰۱۶) در آبهای پاکستان دامنه طول (چنگالی) ماهی هور را ۴۳-۶۹ سانتی‌متر، Vinod Kumar و همکاران (۲۰۱۷) در سواحل شمال غربی هند ۲۶-۱۰۷ سانتی‌متر و Hassadee و همکاران (۲۰۱۴) در خلیج تایلند ۱۰-۵۶/۴ سانتی‌متر و میانگین طول چنگالی را ۳۵/۳۲ سانتی‌متر عنوان کردند. منحنی‌های انتخاب‌پذیری مذکور در این تحقیق تنها احتمال گیرکردن نسبی ماهیان را نسبت به دامنه‌های طولی نشان می‌دهد که به تور برخورد کرده باشند (Millar, 1992). در واقع، این منحنی‌ها احتمال گیرکردن بخش‌هایی از جمعیت ماهی که در دسترس تور نیستند و به تور نیز برخورد نکرده باشند، نشان نمی‌دهند. مهم‌ترین مزیت مدل‌های انتخاب‌پذیری طولی برپایه داده‌های دور بدن، همانند مدل Sechin، این است که نیاز به انجام آزمایش‌های میدانی تورهای مختلف نیست و بدون بهره‌گیری از محاسبات پیچیده ریاضی استفاده از آن آسان است (Hamley, 1975).

منحنی‌های انتخاب‌پذیری بازش شده در این تحقیق با نسبت‌های مهمی از داده‌های طولی هور صید شده با ۶ نوع چشمۀ تور گوش‌گیر هم‌پوشانی دارد که یکبار دیگر مناسب بودن مدل به کار برده شده را برای تعیین انتخاب‌پذیری طولی این گونه بیان می‌کند. نکته حائز اهمیت این است که بخش‌هایی از جمعیت ماهی هور به صورت غیر چشمۀ‌گیر با چشمۀ تورهای مذکور صید می‌شوند و عموماً در دامنه‌های طولی کوچک (به صورت تور پیچ) و بزرگ (به صورت سرگیر) ماهی مشاهد می‌شود که سبب عدم هم‌پوشانی داده‌های طولی ماهیان صید شده و دامنه منحنی‌های انتخاب‌پذیری می‌گردد (شکل‌های ۵ الی ۱۱).

- فیزیکی و اثر انبارداری بر میزان استحکام تورهای گوشگیر تاس‌ماهیان. مجله علمی شیلات ایران، ۱۵۵(۴): ۱۶۱-۱۷۵.
- حسینی، س.ع.، بهزادی، س.، کمالی، ع. و اسماعیل‌زاده، ع.، ۱۳۹۵. روابط- دور بدن <sup>۴</sup> گونه مهم اقتصادی ماهی در آبهای ساحلی بندرعباس. چهارمین کنفرانس ماهی شناسی ایران، ۳۰ - ۳۱ تیر ماه ۱۳۹۵، دانشگاه فردوسی مشهد. ۱-۶.
- حسینی، س.ع. و عنایتی، ش.، ۱۳۹۷. کارایی ابزار صید بکار برده شده در صید ماهی شیر (*Scomberomorus commerson*) با تأکید بر تورهای گوشگیر در دریای عمان-آبهای ساحلی استان سیستان و بلوچستان، مجله علمی شیلات ایران، ۱۴۰(۳): ۲۷-۳۷. DOI: 10.22092/ISFJ.2018.117174
- حقیقت‌جو، ن.، گرگین، س.، حسینی، س.ع. و بابانژاد، م.، ۱۳۹۷. بررسی انتخاب‌پذیری طولی ماهی سرخو معمولی (*Lutjanus johni* Bloch, 1792) براساس رابطه طول- دور بدن در تورهای گوشگیر آبهای ساحلی بندرعباس. مجله علمی شیلات ایران. DOI: ۱۱-۱۸. ۱۲(۱). DOI: 10.22092/ISFJ.2018.116310
- درویشی، م.، ۱۳۸۲. بررسی ذخایر <sup>۵</sup> گونه ماهیان استان هرمزگان. مؤسسه تحقیقات شیلات ایران، تهران، ۵۴ صفحه.
- شوقي، ح.، ۱۳۷۱. گزارش بررسی زیستی تون ماهیان، انتشارات ایستگاه تحقیقاتی آبهای دور (چابهار). ۷۵ صفحه.
- صدقی‌نیری، ع.، ۱۳۹۷. بررسی درجه انتخاب‌پذیری چشمی و میزان صید ضمنی تورهای گوشگیر شناور سطحی ماهی هور (Bleeker, 1851) در صیدگاه‌های استان سیستان و بلوچستان. *Thunnus tonggol* در سطحی ماهی هور (Bleeker, 1851) در صیدگاه‌های استان سیستان و بلوچستان. رساله دکتری. رشته شیلات، گرایش تولید و بهره‌برداری، دانشکده علوم و فنون دریایی، دانشگاه هرمزگان. ۱۲۶ صفحه.

استفاده از توزیع چندجمله‌ای<sup>۱</sup> و روش حداقل درستنمایی<sup>۲</sup> منحنی‌های انتخاب‌پذیری یکنمایی<sup>۳</sup> و منحنی دونمایی<sup>۴</sup> را به تفکیک چشمی بر داده‌های طولی ماهیان صید شده برآورد کرد که در این صورت ماهیان صید شده از طریق تور پیچ نیز در محاسبات انتخاب‌پذیری شامل می‌شوند (Millar and Holst, 1997; Fujimori and Tokai, 2001).

نکته حائز اهمیت این است که صید چند گونه‌ای از موضوعات معمول در صید تورهای گوشگیر است که در آن دو یا چند گونه هدف به طور همزمان می‌تواند با یک نوع چشمی تور مورد صید قرار گیرند. بنابراین، با در نظر گرفتن صید گونه هدف، برای مثال، ماهی هور و الطاع از پراکنش زمانی و مکانی گونه‌های موجود می‌توان تورهای گوشگیر را در جهت صید گونه هدف هدایت نمود. نتایج این تحقیق نشان داد که چشممه‌های تورهای ۱۰/۱، ۱۱/۴، ۱۳/۲، ۱۴/۶، ۱۵/۲ سانتی‌متر برای صید ماهی هور در دریای عمان مناسب نیستند، زیرا بخش قابل توجهی از ماهیان صید شده نابالغ هستند که حتی یکبار هم فرصت تخریزی نداشتند. بنابراین، استفاده از این چشمی تورها با هدف صید ماهی هور در منطقه می‌تواند ممنوع اعلام گردد.

## منابع

- اسدی، ه. و دهقانی‌پشتروودی، ر.، ۱۳۷۵. اطلس ماهیان خلیج فارس و دریای عمان. سازمان تحقیقات و آموزش شیلات ایران، ۲۲۶ صفحه.
- تقوی‌مطلق، س.ا..، ۱۳۹۸. ماهیان اقتصادی خلیج فارس و دریای عمان و پیش‌بینی برداشت پایدار از ذخایر آنها. مؤسسه تحقیقات علوم شیلاتی کشور. ۶۶۰ صفحه.

تمسکی، م.ص.، گرگین، س.، قربانی، ر.، قره‌آقاجی، ع.ا. و عقیل‌نژاد، س.م..، ۱۳۹۵. بررسی صدمات

<sup>1</sup> Multinomial

<sup>2</sup> Maximum likelihood method

<sup>3</sup> Unimodal

<sup>4</sup> Bimodal

- Soleidae) in the Adriatic Sea. *Scientia Marina*, 72(2): 253-263. Doi: 10.3989/scimar.2008.72n2253
- Fischer, W. and Bianchi, G., 1984.** FAO species identification sheets for fishery purposes. Western Indian Ocean (Fishing Area 51). Prepared and printed with the support of the Danish International Development Agency (DANIDA). FAO, Rome, Vol. 1-6. 513 P.
- Fonseca, P., Martins, R., Campos, A. and Sobral, P., 2005.** Gill-net selectivity off the Portuguese western coast. *Fisheries Research*, 73(3): 323-339. Doi: 10.1016/j.fishres.2005.01.015
- Fujimori, Y. and Tokai, T., 2001.** Estimation of Gillnet Selectivity Curve by Maximum Likelihood Method. *Fisheries Science*, 67(4): 644-654. Doi: 10.1046/j.1444-2906.2001.00301.x
- Gabr, M.H. and Mal, A.O., 2016.** Trammel net size-selectivity for *Hippocampus harid* (Forsskål, 1775) and *Lethrinus harak* (Forsskål, 1775) in coral reef fisheries of Jeddah, Saudi Arabia. *The Egyptian Journal of Aquatic Research*, 42(4): 491-498. Doi: 10.1016/j.ejar.2016.09.005
- Guy, C.S., Willis, D.W. and Schultz, R.D., 1996.** Comparison of catch per unit effort and size structure of white crappies collected with trap nets and gill nets. *North American Journal of Fisheries Management*, 16(4): 947-951. Doi: 10.1577/1548-8675(1996)016<0947:COCPUE>2.3.CO;2
- قاسمپور، ش.، گرگین، س. و قربانی، ر.، ۱۴۰۰. فراوانی تورهای گوشگیر غیر مجاز سرگردان در آبهای ساحلی استان گلستان. مجله علمی شیلات ایران، DOI: ۱-۸ : (۱)۳۱ 10.22092/ISFJ.2022.126362
- Ahmed, Q., Bilgin, S. and Bat, L., 2016.** Length based growth estimation of most commercially important Scombridae from offshore water of Pakistan Coast in the Arabian Sea. *Turkish Journal of Fisheries and Aquatic Sciences*, 16(1): 155-167. Doi: 10.4194/1303-2712-v16\_1\_16
- Booth, A.J. and Potts, W.M., 2006.** Estimating gill-net selectivity for *Labeo umbratus* (Pisces: Cyprinidae), and an evaluation of using fyke-nets as a non-destructive sampling gear in small reservoirs. *Fisheries Research*, 79(1-2): 202-209. Doi: 10.1016/j.fishres.2006.02.015
- Emmanuel, B.E., Chukwu, L.O. and Azeez, L.O., 2008.** Full Length Research Paper Gill net selectivity and catch rates of pelagic fish in tropical coastal lagoonal ecosystem. *African Journal of Biotechnology*, 7(21): 3962-3971.
- Erzini, K., Gonçalves, J.M.S., Bentes, L., Moutopoulos, D.K., Hernando Casal, J.A., Soríguer, M.C., Puente, E., Errazkin, L.A. and Stergiou, K.I., 2006.** Size selectivity of trammel nets in southern European small-scale fisheries. *Fisheries Research*, 79(1-2): 183-201. Doi: 10.1016/j.fishres.2006.03.004
- Fabi, G. and Grati, F., 2008.** Selectivity of gill nets for *Solea solea* (Osteichthyes:

- Hameed, M.S. and Boopendranath, M.R., 2000.** Modern fishing gear technology (cover and details). Daya Publishing House, ISBN. 978-8170352235. 175 P.
- Hamley, J.M., 1975.** Review of Gill net Selectivity. *Journal of the Fisheries Research Board of Canada*, 32(11): 1943-1969.
- Hassadee, P., Anchalee, Y., Praulai, N., Patcharee, P., Niracha, S. and Udom, K., 2014.** Reproductive biology of Longtail tuna in Thai waters. In: Fourth Meeting of the IOTC Working Party on Neritic Tunas, 29, 54 P.
- Hosseini, S.A., Kaymarm, F., Behzady, S., Kamaly, E. and Darvishi, M., 2017.** Drift gillnet selectivity for indo-pacific king mackerel, *Scomberomorus guttatus*, using girth measurements in the North of Persian Gulf. *Turkish Journal of Fisheries and Aquatic Sciences*, 17(6): 1145-1156. Doi: 10.4194/1303-2712-v17\_6\_08
- Hovgård, H. and Lassen, H., 2000.** Manual on estimation of selectivity for gillnet and longline gears in abundance surveys. FAO Fisheries Technical Paper. No. 397. Rome, FAO. 84 P.
- Jaward, L., Bobori, D., Al-Shwikh, H. and Al-Saleh, F., 2015.** Opercular girth, maximum girth and total length relationships for *Planiliza abu* (Heckel, 1843) and *Chondrostoma regium* (Heckel, 1843) (Actinopterygii) from Euphrates River at Dier Ez-Zor governorate, Syria. *Acta Zoologica Bulgarica*, 67(4): 591-594.
- Kaymaram, F., Darvishi, M., Behzadi, S. and Ghasemi, S., 2013.** Population dynamic parameters of *Thunnus tonggol* (Bleeker, 1851) in the Persian Gulf and Oman Sea. *Iranian Journal of Fisheries Sciences*, 12(4): 855-863.
- Madsen, N., 2007.** Selectivity of fishing gears used in the Baltic Sea cod fishery. *Reviews in Fish Biology and Fisheries*, 17(4): 517-544. Doi: 10.1007/s11160-007-9053-y
- Mendes, B., Fonseca, P. and Campos, A., 2006.** Relationships between opercula girth, maximum girth and total length of fish species caught in gillnet and trammel net selectivity surveys off the Portuguese coast. *Journal of Applied Ichthyology*, 22(3): 209-213. Doi: 10.1111/j.1439-0426.2006.00734.x
- Millar, R.B., 1992.** Estimating the size-selectivity of fishing gear by conditioning on the total catch. *Journal of the American Statistical Association*, 87(420): 962-968. Doi: 10.2307/2290632
- Millar, R.B. and Holst, R., 1997.** Estimation of gillnet and hook selectivity using log-linear models. *ICES Journal of Marine Science*, 54: 471-477. Doi: 10.1006/jmsc.1996.0196
- Pet, S.J., Pet-Soede, C. and Van Densen, W.L.T., 1995.** Comparison of methods for the estimation of gillnet selectivity to tilapia, cyprinids and other fish species in a Sri Lankan reservoir. *Fisheries Research*, 24(2): 141-164. Doi: 10.1016/0165-7836(94)00364-3

- Pierce, R.B., Cynthia, M.T. and Todd, D.K., 1994.** Indirect and direct estimates of gill-net size selectivity for northern pike. *North American Journal of Fisheries Management*, 14(1): 170-177. Doi: 10.1577/1548-8675(1994)014<0170:IADEOG>2.3.CO;2
- Santos, M.N., Monteiro, C.C. and Erzini, K., 1995.** Aspects of the biology and gillnet selectivity of the axillary seabream (*Pagellus acarne*, Risso) and common Pandora (*Pagellus erythrinus*, Linnaeus) from the Algarve (south Portugal). *Fisheries Research*, 23(3-4): 223-236. Doi: 10.1016/0165-7836(94)00354-Y
- Santos, M.N., Monteiro, C.C., Erzini, K. and Lasserre, G., 1998.** Maturation and gill-net selectivity of two small sea breams (genus *Diplodus*) from the Algarve coast (south Portugal). *Fisheries Research*, 36(2-3): 185-194. Doi: 10.1016/S0165-7836(98)00100-3
- Sechin, Y.T., 1969.** A mathematical model for the selectivity curve of a gillnet. *Rybnoe Khozyaistvo*, 45: 56-58.
- Stequet, B. and Marsac, F., 1989.** Tropical tuna surface in the Indian Ocean. FAO, Rome, 255 P.
- Vinod Kumar, M., Kiran, S.M., Farejiya, M.K. and Rama, R.K., 2017.** Growth, age and mortality of *Thunnus tonggol* (Bleeker, 1851) exploited along the North West coast of India. *European Journal of Biotechnology and Bioscience*, 5(3): 1-5.

**Study of the gill net selectivity of Longtail tuna, *Thunnus tonggol* (Bleeker, 1851) using body-length relationship in the Oman Sea (Sistan and Baluchistan coastal waters)**

Kahrazehi M.J.<sup>1</sup>; Gorgin S.<sup>1\*</sup>; Hosseine S.A.<sup>2</sup>; Azhang B.<sup>3</sup>

\*sgorgin@gau.ac.ir

1-Fishing and Exploitation Department, College of Fisheries and Environment, Gorgan University of Agricultural Sciences and Natural Resources, Gorgan, Iran

2- Inland Waters Aquatics Resources Research Center, Iranian Fisheries Science Research Institute, Agricultural Research, Education and Extension Organization, Gorgan, Iran

3- Off-shore Fisheries Research Center, Iranian Fisheries Science Research Institute, Agricultural Research, Education and Extension Organization, Chabahar, Iran

**Abstract**

Longtail tuna (*Thunnus tonggol*) is an important commercial species. This species is often caught in the Oman Sea by gill net. This study was conducted to study the selectivity of longtail tuna gill net based on the length-body girth relationship from January to July 2019 monthly in Bryce, Ramin, and Konarak sampling areas. For this purpose, the caught fish were collected and the data of Longtail tuna was measured from the eye, pre-operculum, operculum, and maximum body height at each stage of sampling. Then, the net selection curve and the optimal length of the longtail tuna were calculated by the gill net selectivity model based on the net mesh size. From the results, the maximum fish length was estimated at 40, 50, 56, 65, 68, and 80 cm for the net mesh sizes of 10.1, 11.4, 13.2, 14.6, 15.2 and 17.8 cm, respectively. According to Lm50 of longtail tuna at 73.3 cm fork length, the fish caught with mesh size of 17.8 cm has a fork length greater than the average sexual maturity length of the fish. Therefore, taking into account the catch of the target species, *T. tonggol*, the results showed that mesh size of 10.1, 11.4, 13.2, 14.6, 15.2 cm are not suitable for catching *T. tonggol* in the Oman Sea. The use of 17.8 cm mesh size with the purpose of catching adult *T. tonggol* would be suggested for sustainable and responsible fishing for this species.

Keywords: *Thunnus tonggol*, Gill net, Selectivity, Iran, Oman Sea

---

\*Corresponding author